

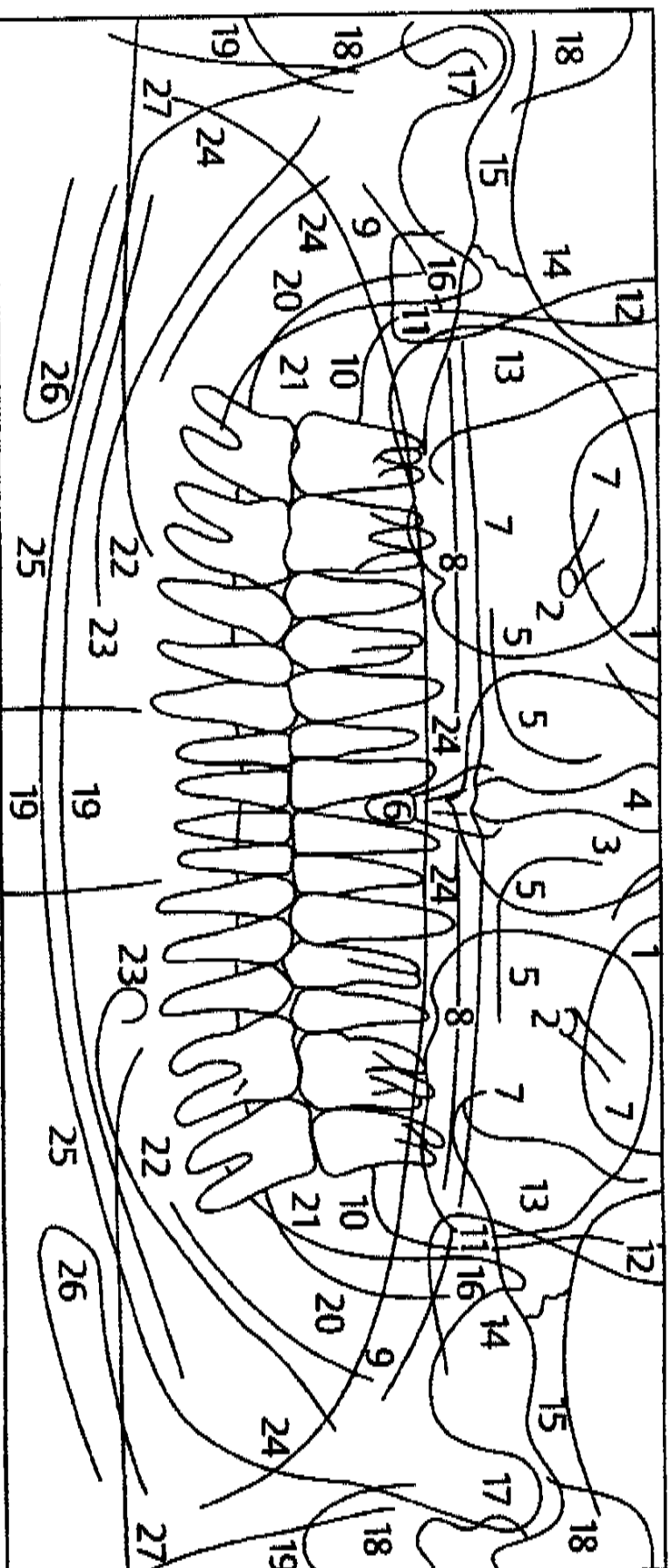
Quelle: <http://deposit.d-nb.de/cgi-bin/dokserv?idn=999489267>

Autor: Sommer, Christian

Titel: Radiologische Querschnittsstudie zur Qualitätsverbesserung von Panoramaschichtaufnahmen mittels Zungenpositionsmantwer, Seite 7

Dissertation: Medizinische Fakultät, Georg-August-Universität Göttingen, 2009

download: [http://deposit.d-nb.de/cgi-bin/dokserv?idn=999489267&dok\\_var=d1&dok\\_ext=pdf&filename=999489267.pdf](http://deposit.d-nb.de/cgi-bin/dokserv?idn=999489267&dok_var=d1&dok_ext=pdf&filename=999489267.pdf), Seite 12



Die anatomischen

Strukturen, die sich in der Panoramaschichtaufnahme identifizieren lassen, sind in Abbildung 1.4 dargestellt.

Abb. 1.4: Röntgenanatomie der PSA: Darstellung röntgenanatomischer Strukturen, die in der Panoramaschichtaufnahme eines Erwachsenen beobachtet werden können (PASLER 2008, S. 195).

- |                             |  |                                   |
|-----------------------------|--|-----------------------------------|
| 1 Orbitae                   | 10 Tuber maxillae  | 19 Halswirbelsäule                |
| 2 Cavum infraorbitale       | 11 Processus pterygoideus sowie Processus pyramidalis ossis palatini | 20 Crista temporalis mandibulae   |
| 3 Cavum nasi                | 12 Fossa pterygopalatina   | 21 Linea obliqua                  |
| 4 Septum nasi               | 13 Os zygomaticum  | 22 Canalis mandibulae             |
| 5 Concha nasalis inferior   | 14 Sutura zygomaticotemporalis                                       | 23 Foramen mentale                |
| 6 Foramen incisivum         | 15 Arcus zygomaticus, Tuberculum articulare                          | 24 Zungenrücken                   |
| 7 Sinus maxillae            | 16 Processus coronoideus   | 25 Kompakta des Unterkieferrandes |
| 8 Gaumendach und Nasenboden | 17 Kondylus  | 26 Zungenbein                     |
| 9 Velum palatinum           | 18 äußeres Ohr mit äußerem Gehörgang                                 | 27 Verwischung des Gegenkiefers   |